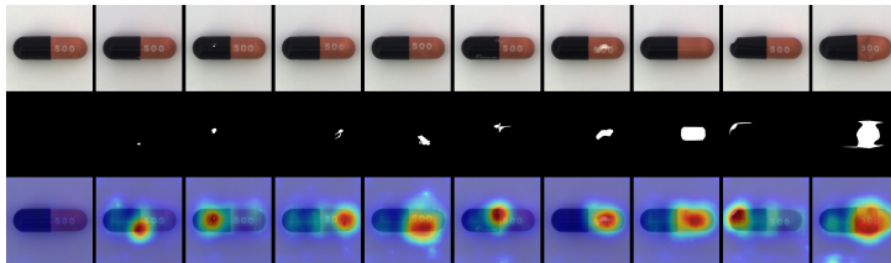
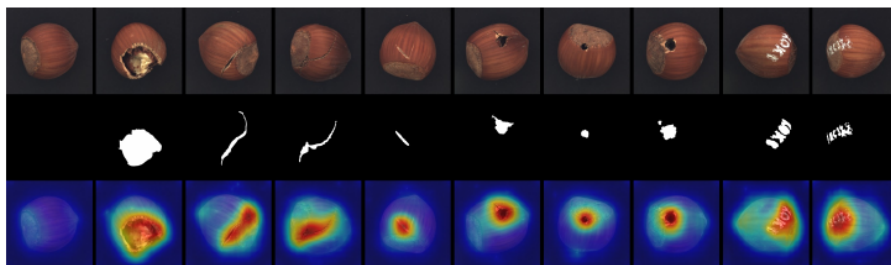


図A7: MVTec-ADにおけるケーブルの異常検出結果。上から下へ：サンプル、真値、およびADTRの異常スコアマップ。最初の列は正常なサンプルです。



図A8: MVTec-ADにおけるカプセルの異常検出結果。上から下へ：サンプル、真値、およびADTRの異常スコアマップ。最初の列は正常サンプルです。



図A9: MVTec-ADにおけるヘーゼルナッツの異常検出結果。上から下へ：サンプル、真値、およびADTRの異常スコアマップ。最初の列は正常なサンプルです。

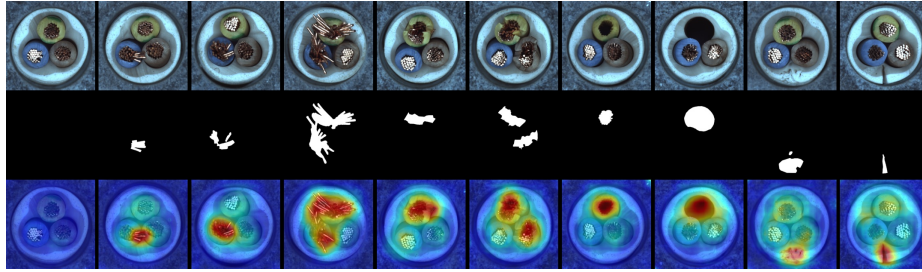


Fig. A7: Anomaly detection results of cable on MVTec-AD. From top to down: samples, ground-truth, and the anomaly score maps of ADTR. The first column is the normal sample.

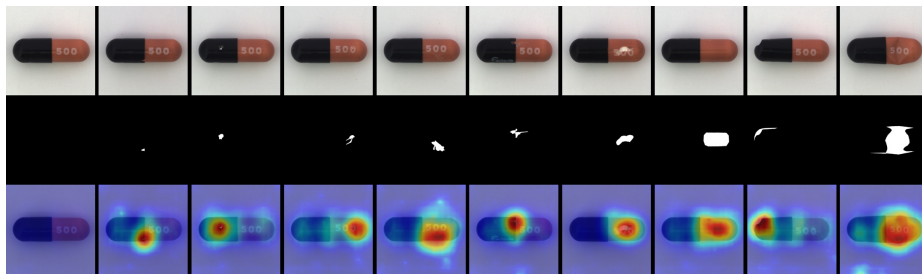


Fig. A8: Anomaly detection results of capsule on MVTec-AD. From top to down: samples, ground-truth, and the anomaly score maps of ADTR. The first column is the normal sample.

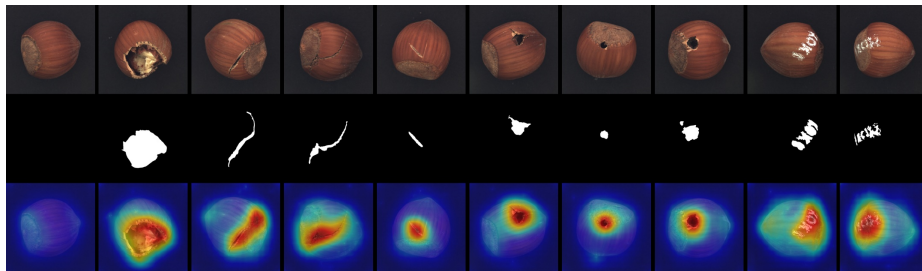


Fig. A9: Anomaly detection results of hazelnut on MVTec-AD. From top to down: samples, ground-truth, and the anomaly score maps of ADTR. The first column is the normal sample.